

## V. SIMPULAN DAN SARAN

### A. Simpulan

Berdasarkan penelitian yang telah dilakukan, didapatkan simpulan sebagai berikut.

1. Batas aman penggunaan konsentrasi PEG 4000 yang tidak menyebabkan hiperagregasi pada sel darah merah ayam yaitu 12% (w/v) dan pada mencit (BALB/c) yaitu 7% (w/v)
2. Penambahan konsentrasi PEG dalam batas aman (5% w/v) tidak memberikan pengaruh terhadap uji hemagglutinasi virus ND terhadap sel darah merah ayam.
3. Desain kombinasi perlakuan yang paling memberikan pengaruh terhadap aktivitas hemagglutinasi sel darah merah mencit (BALB/c) dalam uji hemagglutinasi virus SARS-CoV-2 yaitu kombinasi praperlakuan *neuraminidase* 41 U/mL terhadap virus SARS-CoV-2, penambahan PEG (4000) konsentrasi akhir 33% (v/v), waktu inkubasi selama 60 menit dengan nilai titer tertinggi yaitu  $2^{7,58}$  HAU pada temperatur inkubasi 25°C dan  $2^8$  HAU pada temperatur inkubasi 37°C.

## B. Saran

Berdasarkan penelitian yang telah dilakukan, dapat diberikan saran sebagai berikut.

1. Perlu dilakukan penelitian dengan metode serupa yang dilakukan oleh peneliti lain sebagai bentuk validasi metode analisis parameter akurasi, presisi dan spesifitas.
2. Perlu dilakukan penelitian dengan metode yang serupa terhadap sampel supernatan isolat virus SARS-CoV-2 inaktif yang telah dipurifikasi menjadi antigen murni.
3. Perlu dilakukan penelitian lebih lanjut terhadap pengujian kualitas aglutinasi secara mikroskopis.

## DAFTAR PUSTAKA

- Aoki, T. 2023. Behaviour of a Sialo-Oligosaccharide from Glycophorin in Teleost Red Blood Cell Membranes. *Animal Models and Experimental Research in Medicine*. IntechOpen.
- Barbalato, L. & Pillarisetty, L.S. 2024. *Histology, Red Blood Cell*. StatPearls Publishing (FL), Treasure Island.
- Bayoumie, H.A. 2016a. Preparation of a hemagglutinating antigen for the IBV Sharkia variant designated. *Animal Health Research Journal* 4(1): 109–116.
- Bayoumie, H.A. 2016b. Preparation of a hemagglutinating antigen for the IBV Sharkia variant designated. *Animal Health Research Journal* 4(1): 109–116.
- Bò, L., Miotto, M., Di Rienzo, L., Milanetti, E. & Ruocco, G. 2021a. Exploring the Association Between Sialic Acid and SARS-CoV-2 Spike Protein Through a Molecular Dynamics-Based Approach. *Frontiers in Medical Technology* 2(January): 1–10.
- Bò, L., Miotto, M., Di Rienzo, L., Milanetti, E. & Ruocco, G. 2021b. Exploring the Association Between Sialic Acid and SARS-CoV-2 Spike Protein Through a Molecular Dynamics-Based Approach. *Frontiers in Medical Technology* 2(January): 1–10.
- Chaudhry, S.N., Hazafa, A., Mumtaz, M., Kalsoom, U., Abbasd, S., Kainaat, A., Shahid, B., Nauman Zafar, N., Siddique, A. & Zafar, A. 2020. New insights on possible vaccine development against SARS-CoV-2. *Life Sciences* 260(118421).  
<https://www.sciencedirect.com/science/article/pii/S0024320520311747>  
diakses pada tanggal 21 Agustus 2024.
- Fernandes, H.P., Cesar, C.L. & Barjas-Castro, M. de L. 2011. Electrical properties of the red blood cell membrane and immunohematological investigation. *Revista Brasileira de Hematologia e Hemoterapia* 33(4): 297–301.
- Ghosh, S. 2020. Sialic acid and biology of life: An introduction. *Sialic Acids and Sialoglycoconjugates in the Biology of Life, Health and Disease*. Elsevier, hlm.1–61.
- Gorbalenya, A.E., Baker, S.C., Baric, R.S., de Groot, R.J., Drosten, C., Gulyaeva, A.A., Haagmans, B.L., Lauber, C., Leontovich, A.M., Neuman, B.W., Penzar, D., Perlman, S., Poon, L.L.M., Samborskiy, D. V., Sidorov, I.A., Sola, I. & Ziebuhr, J. 2020. The species Severe acute respiratory syndrome-related coronavirus: classifying 2019-nCoV and naming it SARS-CoV-2. *Nature Microbiology* 5(4): 536–544.

- Gray, E., Hogwood, J. & Mulloy, B. 2012. The Anticoagulant and Antithrombotic Mechanisms of Heparin. hlm.43–61.
- Grimes, S.E. 2002. A basic laboratory manual for the small-scale production and testing of I-2 Newcastle Disease Vaccine. *Vaccine* 28–54.
- Handriani, R., Warouw, G.M. & Oktari, A. 2021a. Optimization of Polyethylene Glycol Concentration as an Agglutination Potentiator for Examination of Blood Types of Dry Blood Sample. *Journal of Physics: Conference Series* 1764(1).
- Handriani, R., Warouw, G.M. & Oktari, A. 2021b. Optimization of Polyethylene Glycol Concentration as an Agglutination Potentiator for Examination of Blood Types of Dry Blood Sample. *Journal of Physics: Conference Series* 1764(1).
- Huang, X., Dong, W., Milewska, A., Golda, A., Qi, Y., Zhu, Q.K., Marasco, W.A., Baric, R.S., Sims, A.C., Pyrc, K., Li, W. & Sui, J. 2015. Human Coronavirus HKU1 Spike Protein Uses O -Acetylated Sialic Acid as an Attachment Receptor Determinant and Employs Hemagglutinin-Esterase Protein as a Receptor-Destroying Enzyme . *Journal of Virology* 89(14): 7202–7213.
- Jablonowski, H. & von Woedtke, T. 2015. Research on plasma medicine-relevant plasma–liquid interaction: What happened in the past five years? *Clinical Plasma Medicine* 3(2): 42–52.
- Jung, F. & Connes, P. 2024. *Morphology and Function of Red Blood Cells in COVID-19 Patients: Current Overview 2023*. Life .
- Kaufmann, L., Syedbasha, M., Vogt, D., Hollenstein, Y., Hartmann, J., Linnik, J.E. & Egli, A. 2017a. An optimized hemagglutination inhibition (HI) assay to quantify influenza-specific antibody titers. *Journal of Visualized Experiments* 2017(130): 1–10.
- Kaufmann, L., Syedbasha, M., Vogt, D., Hollenstein, Y., Hartmann, J., Linnik, J.E. & Egli, A. 2017b. An optimized hemagglutination inhibition (HI) assay to quantify influenza-specific antibody titers. *Journal of Visualized Experiments* 2017(130): 1–10.
- Kronstein-Wiedemann, R., Stadtmüller, M., Traikov, S., Georgi, M., Teichert, M., Yosef, H., Wallenborn, J., Karl, A., Schütze, K., Wagner, M., El-Armouche, A. & Tonn, T. 2022. SARS-CoV-2 Infects Red Blood Cell Progenitors and Dysregulates Hemoglobin and Iron Metabolism. *Stem Cell Reviews and Reports* 18(5): 1809–1821.

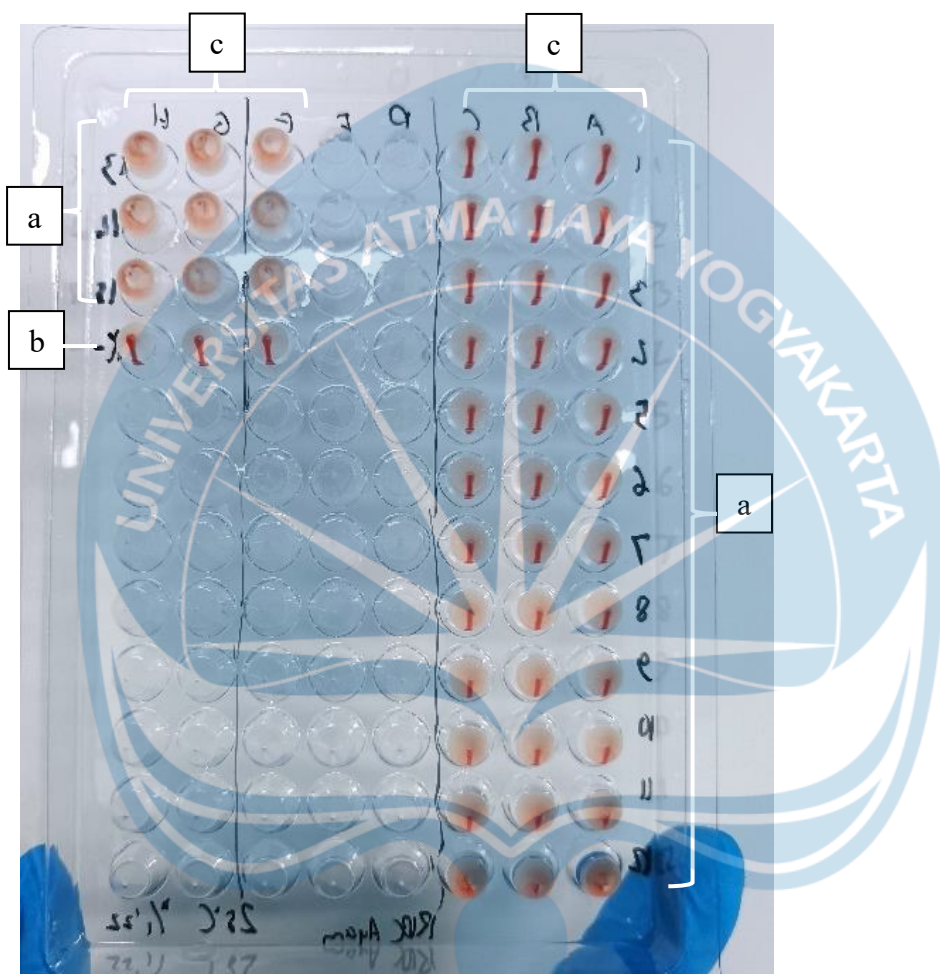
- Li, D.D. & Li, Q.H. 2021. SARS-CoV-2: vaccines in the pandemic era. *Military Medical Research* 8(1): 1–15.
- Luner, S.J., Sturgeon, P., Szklarek, D. & McQuiston, D.T. 1975. Effects of Proteases and Neuraminidase on RBC Surface Charge and Agglutination: A Klinetic Study. *Vox Sanguinis* 28(3): 184–199.
- Mahmood, M.S., Siddique, M., Hussain, I. & Khan, A. 2004. Trypsin-Induced Hemagglutination Assay for the Detection of Infectious Bronchitis Virus. *Pakistan Veterinary Journal* 24(2): 54–57.
- McAuley, J.L., Gilbertson, B.P., Trifkovic, S., Brown, L.E. & McKimm-Breschkin, J.L. 2019. Influenza virus neuraminidase structure and functions. *Frontiers in Microbiology* 10(JAN).
- Mohit, E., Rostami, Z. & Vahidi, H. 2021. A comparative review of immunoassays for COVID-19 detection. *Expert Review of Clinical Immunology* 17(6): 573–599.
- Nakagawa, K. & Makino, S. 2021. Mechanisms of coronavirus nsp1-mediated control of host and viral gene expression. *Cells* 10(2): 1–18.
- Nance, S.J. & Garratty, G. 1987a. Polyethylene Glycol: A New Potentiator of Red Blood Cell Antigen–Antibody Reactions. *American Journal of Clinical Pathology* 87(5): 633–635. <https://academic.oup.com/ajcp/article/87/5/633/1791822>.
- Nance, S.J. & Garratty, G. 1987b. Polyethylene Glycol: A New Potentiator of Red Blood Cell Antigen–Antibody Reactions. *American Journal of Clinical Pathology* 87(5): 633–635.
- Nguyen, L., McCord, K.A., Bui, D.T., Bouwman, K.M., Kitova, E.N., Elaish, M., Kumawat, D., Daskhan, G.C., Tomris, I., Han, L., Chopra, P., Yang, T., Willows, S.D., Mason, A.L., Mahal, L.K., Lowary, T.L., West, L.J., Hsu, S.D., Hobman, T., Tompkins, S.M., Boons, G., de Vries, R.P., Macauley, M.S. & Klassen, J.S. 2021. Sialic acid-containing glycolipids mediate binding and viral entry of SARS-CoV-2. *Nature Chemical Biology*.
- Nunnally, B.K., Turula, V.E. & Sitrin, R.D. 2015. *Vaccine analysis: Strategies, principles, and control. Vaccine Analysis: Strategies, Principles, and Control*.
- Palmer, D.J. & Ng, P. 2004. Physical and infectious titers of helper-dependent adenoviral vectors: A method of direct comparison to the adenovirus reference material. *Molecular Therapy* 10(4): 792–798.

- Park, J.E., Cruz, D.J.M. & Shin, H.J. 2010. Trypsin-induced hemagglutination activity of porcine epidemic diarrhea virus. *Archives of Virology* 155(4): 595–599.
- Shtyrya, Y.A., Mochalova, L. V & Bovin, N. V 2009. Influenza virus neuraminidase: structure and function. *Acta naturae* 1(2): 26–32.
- Stratton, F., Rawlinson, V.I., Gunson, H.H. & Phillips, P.K. 1973. The Role of Zeta Potential in Rh Agglutination. *Vox Sanguinis* 24(3): 273–279.
- Townsend, A., Rijal, P., Xiao, J., Tan, T.K., Huang, K.-Y.A., Schimanski, L., Huo, J., Gupta, N., Rahikainen, R., Matthews, P.C., Crook, D., Hoosdally, S., Dunachie, S., Barnes, E., Street, T., Conlon, C.P., Frater, J., Arancibia-Cárcamo, C. V., Rudkin, J., Stoesser, N., Karpe, F., Neville, M., Ploeg, R., Oliveira, M., Roberts, D.J., Lamikanra, A.A., Tsang, H.P., Bown, A., Vipond, R., Mentzer, A.J., Knight, J.C., Kwok, A.J., Sreaton, G.R., Mongkolsapaya, J., Dejnirattisai, W., Supasa, P., Klenerman, P., Dold, C., Baillie, J.K., Moore, S.C., Openshaw, P.J.M., Semple, M.G., Turtle, L.C.W., Ainsworth, M., Allcock, A., Beer, S., Bibi, S., Skelly, D., Stafford, L., Jeffrey, K., O'Donnell, D., Clutterbuck, E., Espinosa, A., Mendoza, M., Georgiou, D., Lockett, T., Martinez, J., Perez, E., Gallardo Sanchez, V., Scozzafava, G., Sobrinodiaz, A., Thraves, H. & Joly, E. 2021. A haemagglutination test for rapid detection of antibodies to SARS-CoV-2. *Nature Communications* 12(1): 1951.
- Varghese, J.N. & Colman, P.M. 1991. Three-dimensional structure of the neuraminidase of influenza virus A/Tokyo/3/67 at 2·2 Å resolution. *Journal of Molecular Biology* 221(2): 473–486.
- Varki, A. 2008. Sialic acids in human health and disease. *Trends in Molecular Medicine* 14(8): 351–360.
- Volkhina, I. V. & Butolin, E.G. 2022. Clinical and Diagnostic Significance of Sialic Acids Determination in Biological Material. *Biochemistry (Moscow) Supplement Series B: Biomedical Chemistry* 16(3): 165–174.
- Wagner, C., Steffen, P. & Svetina, S. 2013. Aggregation of red blood cells: From rouleaux to clot formation. *Comptes Rendus. Physique* 14(6): 459–469.
- Weldy, L. 2014a. Polyethylene glycol antiglobulin test (PEG-AGT). *Immunohematology* 30(4): 158–160.
- Weldy, L. 2014b. Polyethylene glycol antiglobulin test (PEG-AGT). *Immunohematology* 30(4): 158–160.

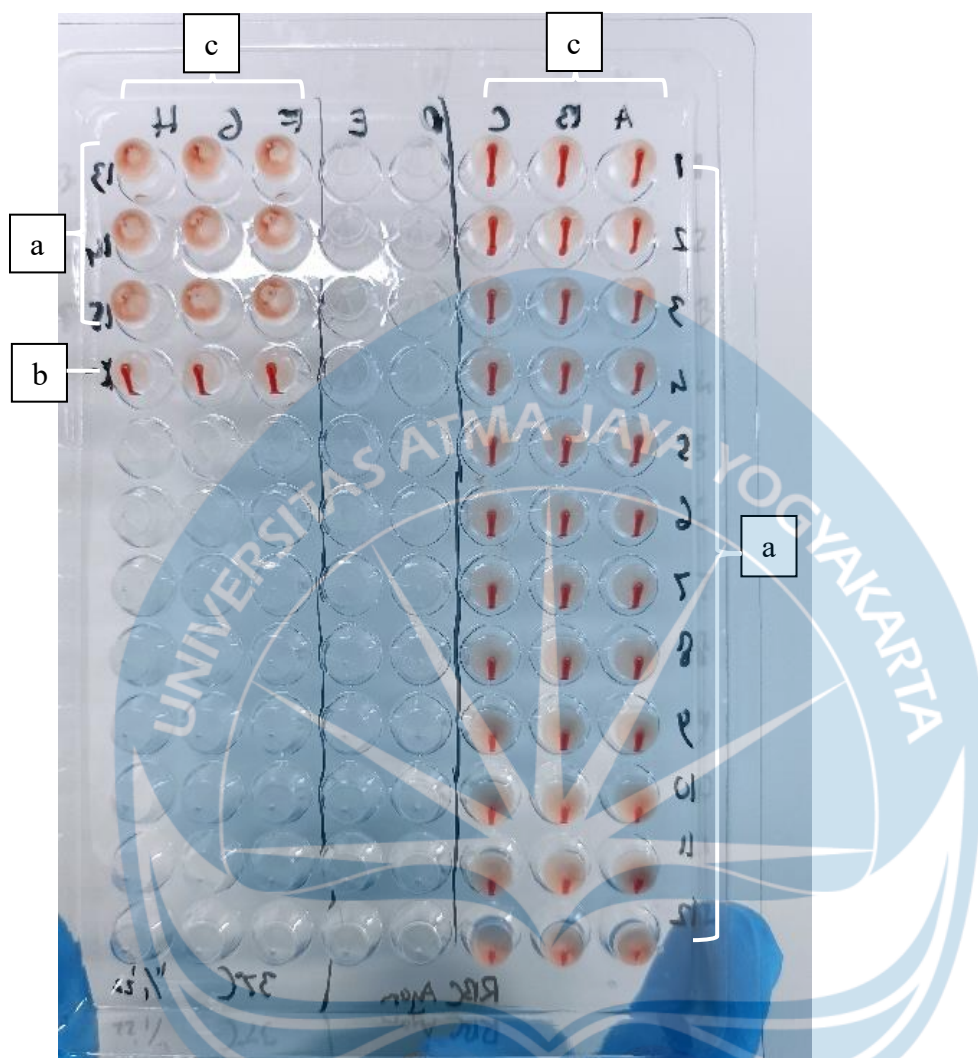
- Zhang, Q., Xiang, R., Huo, S., Zhou, Y., Jiang, S., Wang, Q. & Yu, F. 2021a. Molecular mechanism of interaction between SARS-CoV-2 and host cells and interventional therapy. *Signal Transduction and Targeted Therapy* 6(1).
- Zhang, Q., Xiang, R., Huo, S., Zhou, Y., Jiang, S., Wang, Q. & Yu, F. 2021b. Molecular mechanism of interaction between SARS-CoV-2 and host cells and interventional therapy. *Signal Transduction and Targeted Therapy* 6(1). <http://dx.doi.org/10.1038/s41392-021-00653-w>.
- Zhang, Y., Han, L., Xia, L., Yuan, Y. & Hu, H. 2020. Assessment of hemagglutination activity of porcine deltacoronavirus. *Journal of Veterinary Science* 21(1): 1–6.
- Zhao, W.-Y., Xiong, H.-Y., Yuan, Q., Zeng, L., Wang, L.-M. & Zhu, Y.-H. 2011. In vitro effects of polyethylene glycol in University of Wisconsin preservation solution on human red blood cell aggregation and hemorheology. *Clinical Hemorheology and Microcirculation* 47(3): 177–185.

## LAMPIRAN

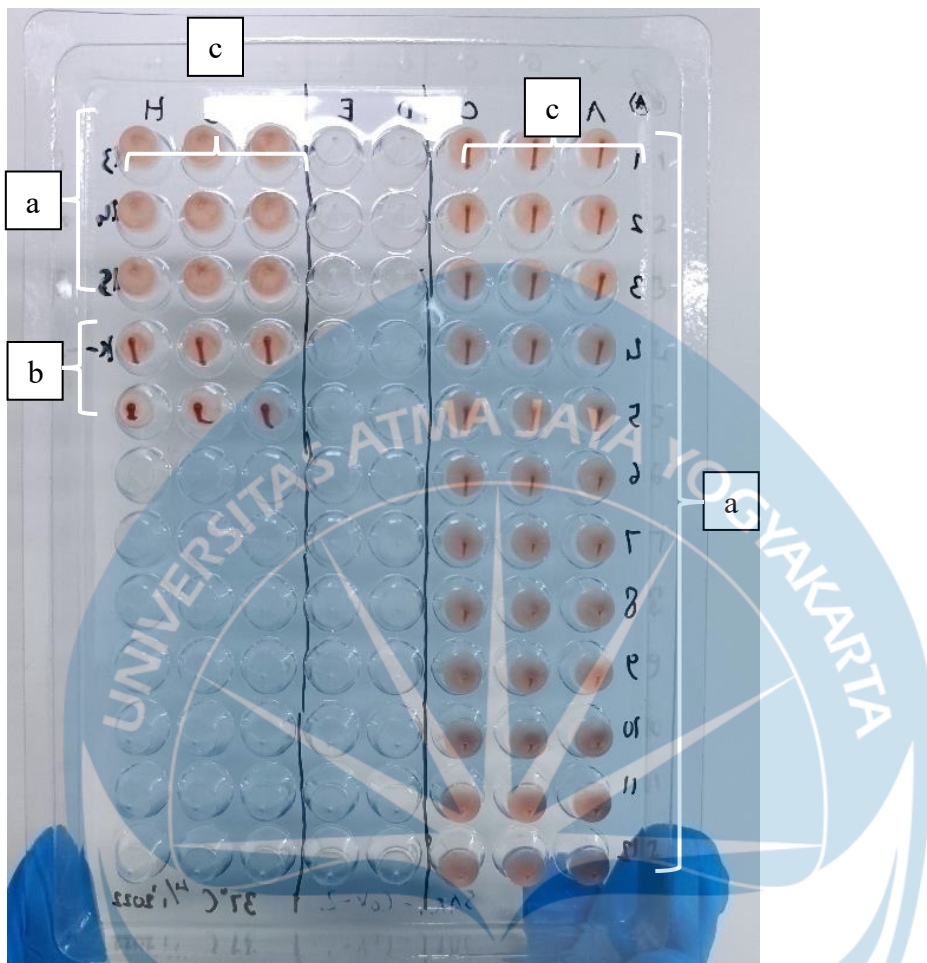
### A. Lampiran Gambar



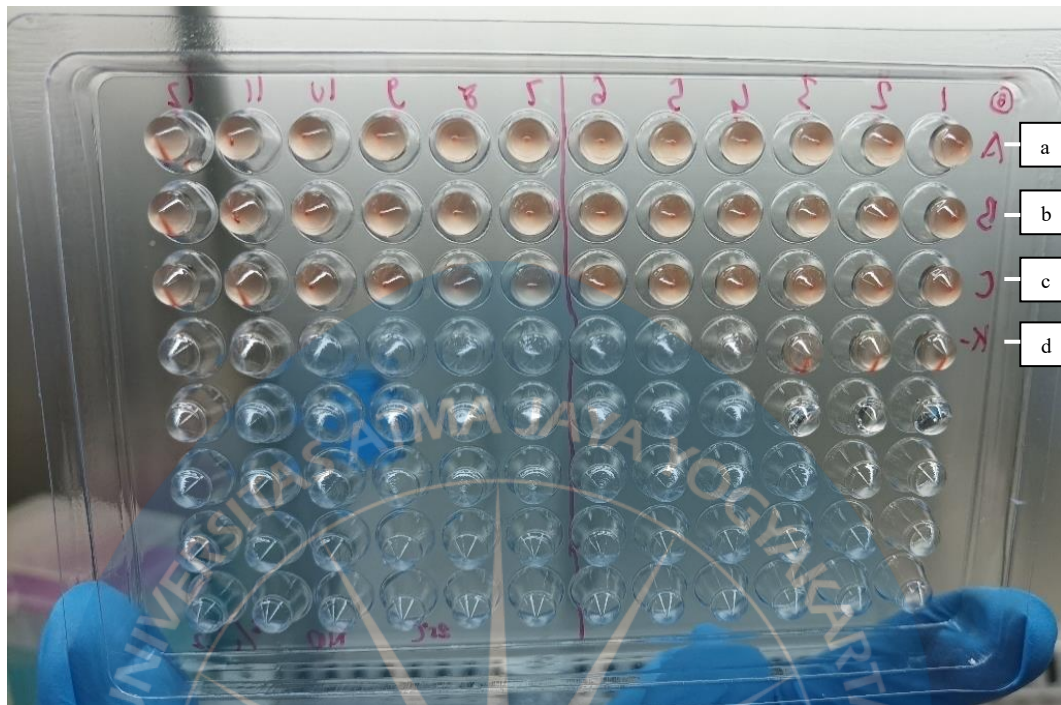
Gambar 14. Hasil uji hemagglutinasi PEG (1-15%) terhadap sel darah ayam 1% pada temperatur inkubasi 25°C selama 60 menit (a) Dengan variasi konsentrasi larutan stok PEG 1-15% (*w/v*); (b) Kontrol negatif tanpa PEG; (c) Pengujian dilakukan triplo



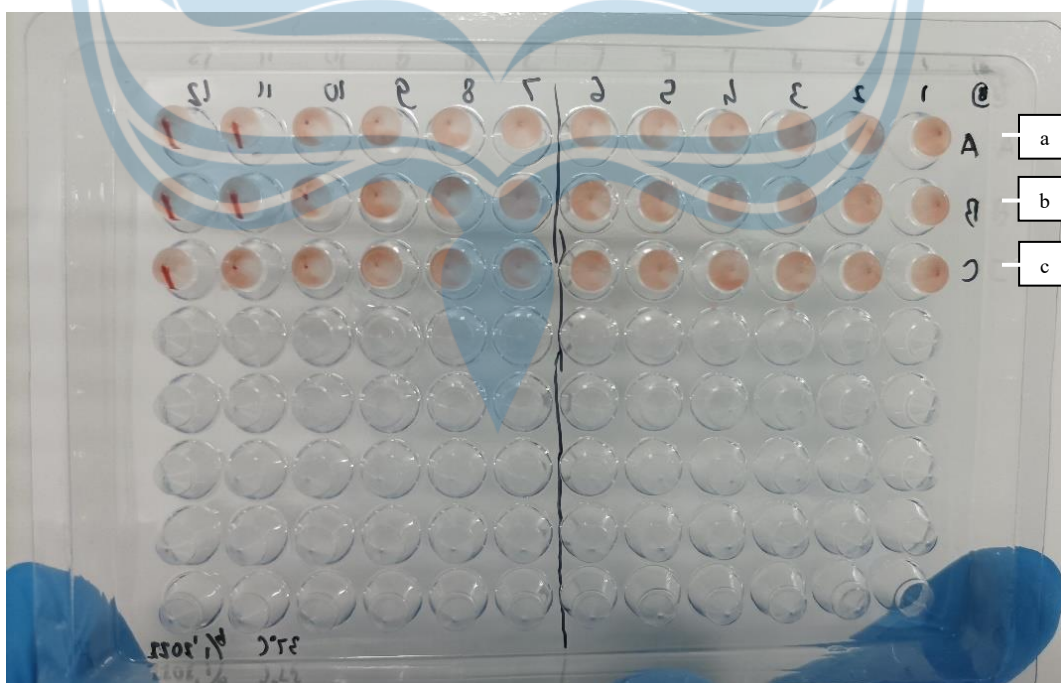
Gambar 15. Hasil uji hemagglutinasi PEG (1-15%) terhadap sel darah ayam 1% pada temperatur inkubasi 37°C selama 60 menit (a) Dengan variasi konsentrasi larutan stok PEG 1-15% (w/v); (b) Kontrol negatif tanpa PEG; (c) Pengujian dilakukan triplo



Gambar 16. Hasil uji hemagglutinasi PEG (1-15%) terhadap sel darah merah mencit (BALB/c) 1% pada temperatur inkubasi 37°C selama 60 menit (a) Dengan variasi konsentrasi larutan stok PEG 1-15% (w/v); (b) Kontrol negatif tanpa PEG; (c) Pengujian dilakukan triplo



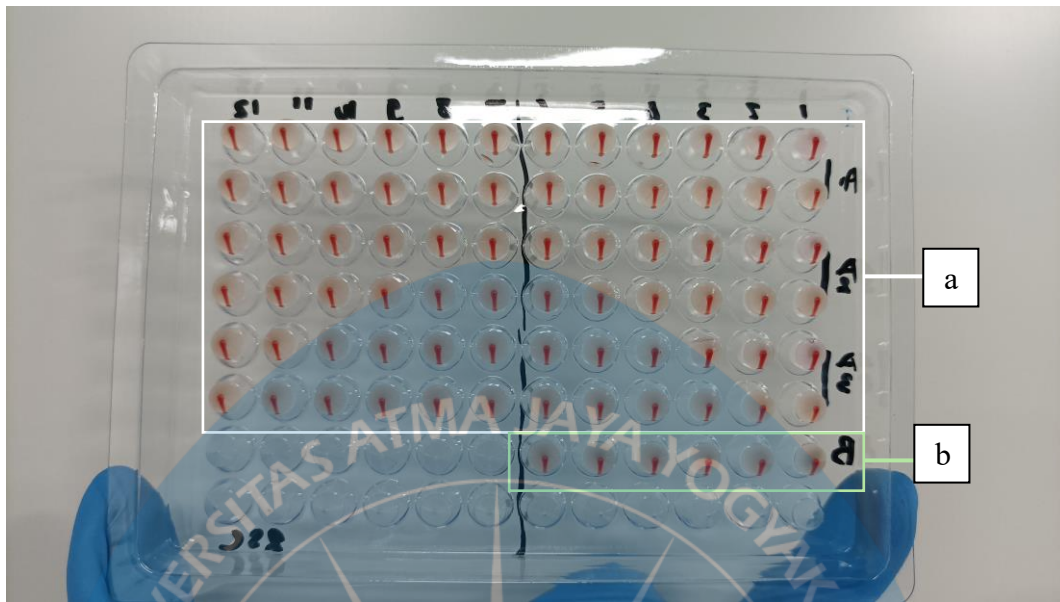
Gambar 17. Hasil uji hemagglutinasi virus ND terhadap sel darah merah ayam 1% pada temperatur inkubasi 25°C selama 30 menit (a) Ulangan ke-1; (b) Ulangan ke-2; (c) Ulangan ke-3: (d) Kontrol negatif tanpa virus ND



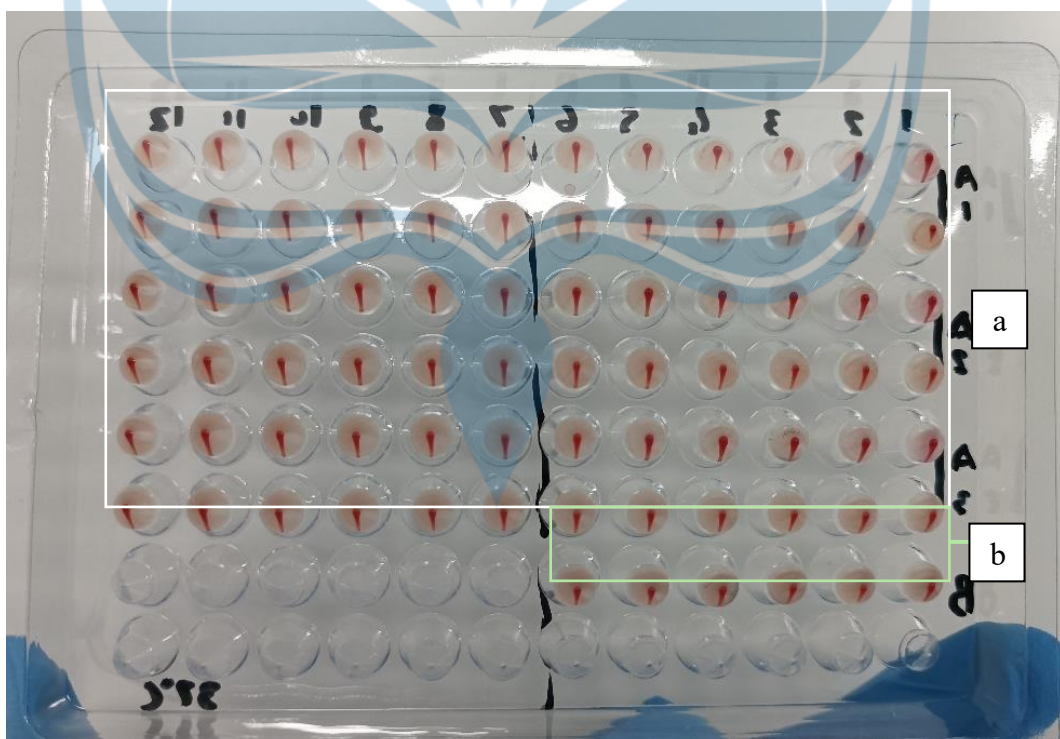
Gambar 18. Hasil uji hemagglutinasi virus ND terhadap sel darah merah Ayam 1% pada temperatur inkubasi 37°C selama 30 menit



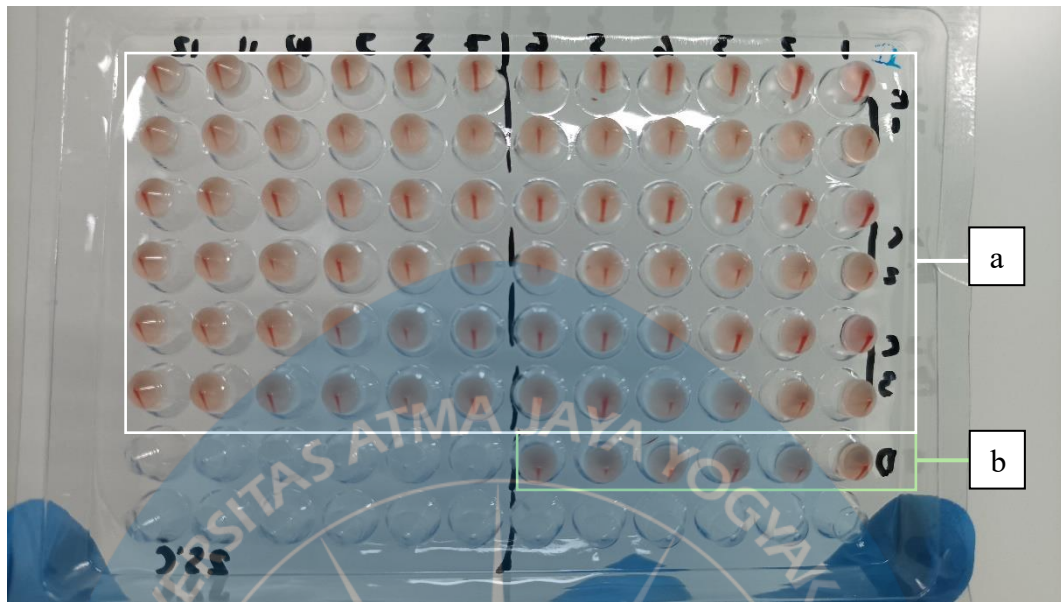
Gambar 19. Hasil uji hemagglutinasi virus ND dengan penambahan PEG 5% terhadap sel darah merah ayam 1% pada temperatur inkubasi 37°C selama 30 menit (a) Ulangan ke-1; (b) Ulangan ke-2; (c) Ulangan ke-3



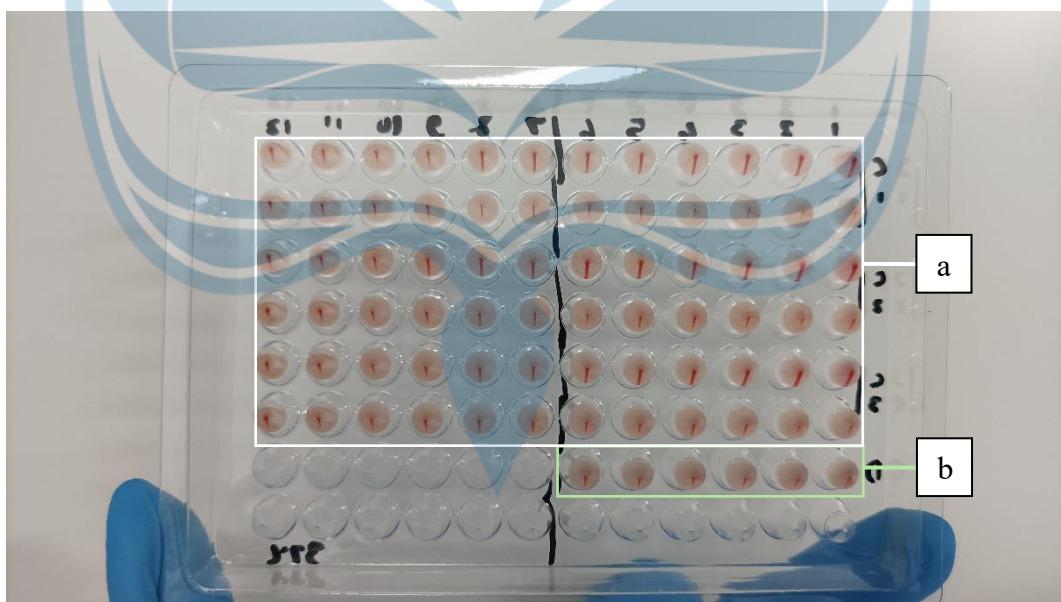
Gambar 20. Hasil uji hemagglutinasi pada temperatur inkubasi 25°C selama 60 menit  
(a) HA Virus SARS-CoV-2 terhadap sel darah merah mencit (BALB/c) 1% dengan nilai titer 0 HAU; (b) Kontrol negatif (HA tanpa virus)



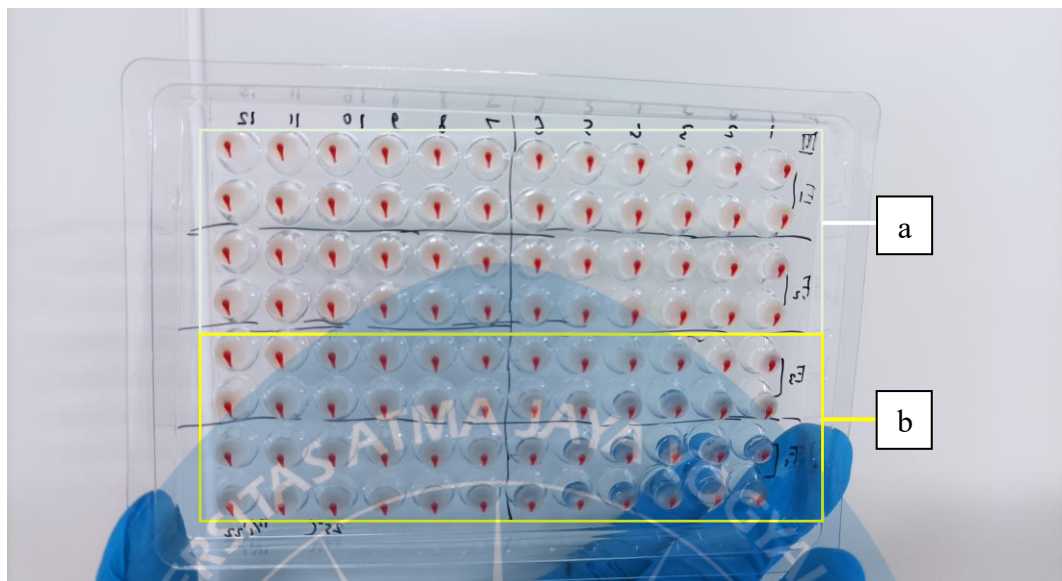
Gambar 21. Hasil uji hemagglutinasi pada temperatur inkubasi 37°C selama 60 menit  
(a) HA virus SARS-CoV-2 terhadap sel darah merah mencit (BALB/c) 1% dengan nilai titer 0 HAU; (b) Kontrol negatif (HA tanpa virus)



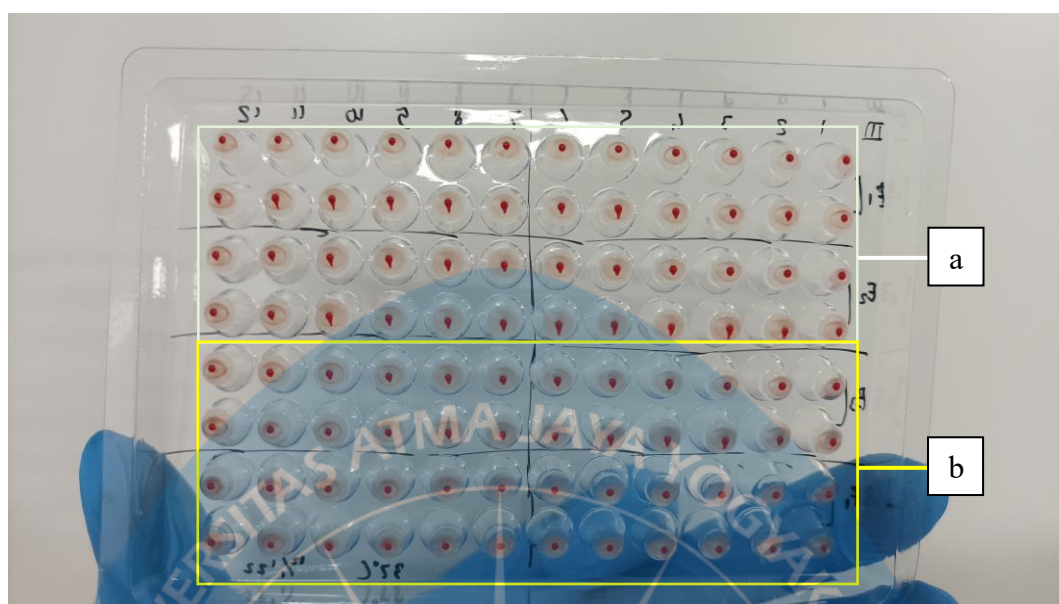
Gambar 22. Hasil uji hemagglutinasi dengan penambahan PEG 33,33% pada temperatur inkubasi 25°C selama 60 menit (a) HA virus SARS-CoV-2 terhadap sel darah merah mencit (BALB/c) 1% dengan nilai titer 0 HAU; (b) Kontrol negatif (HA tanpa virus)



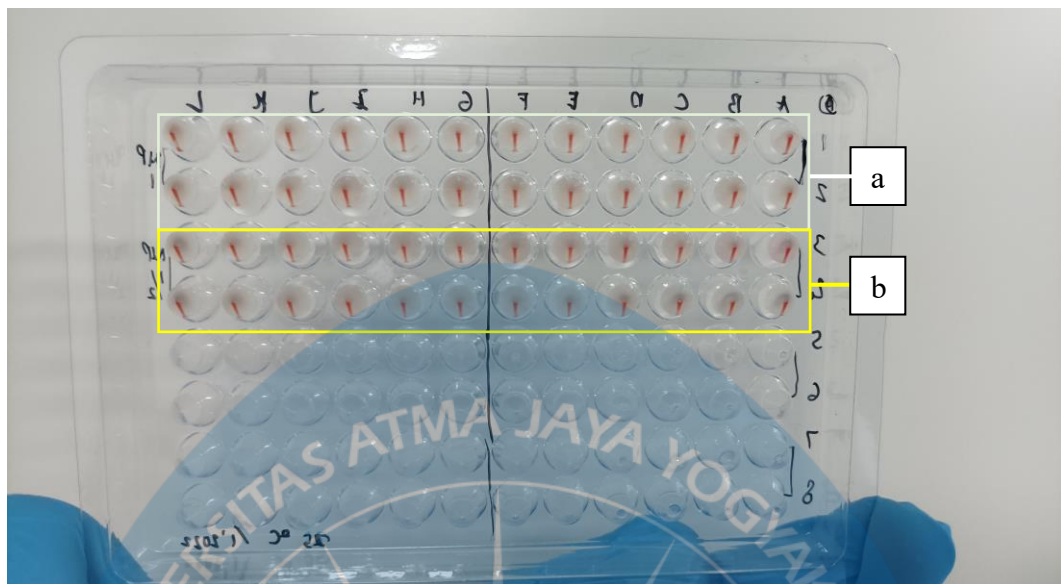
Gambar 23. Hasil uji hemagglutinasi dengan penambahan PEG 33,33% pada temperatur inkubasi 37°C selama 60 menit (a) HA virus SARS-CoV-2 terhadap sel darah merah mencit (BALB/c) 1% dengan nilai titer 0 HAU; (b) Kontrol negatif (HA tanpa virus)



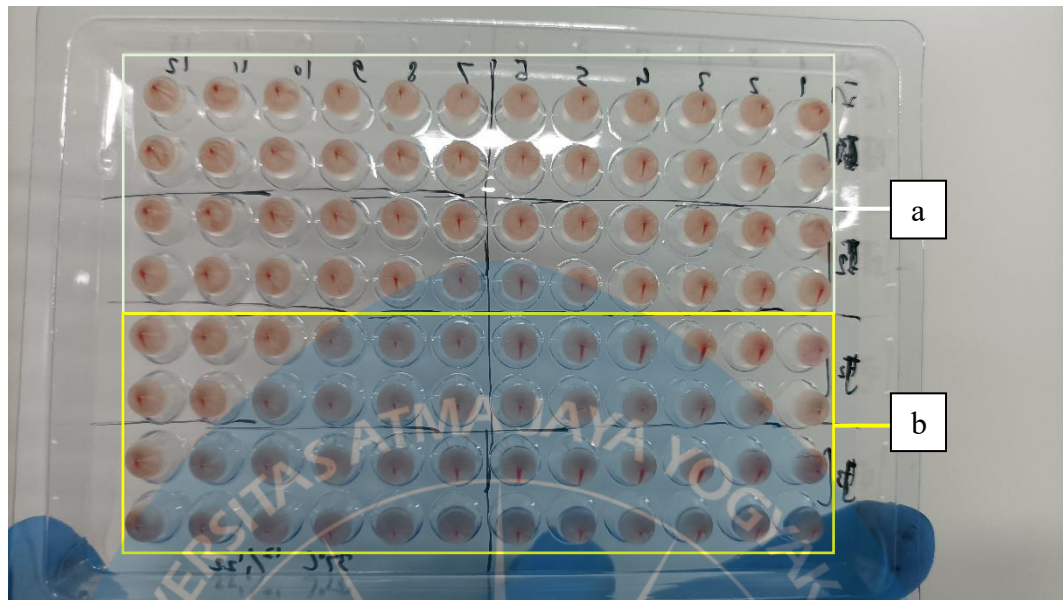
Gambar 24. Hasil uji hemagglutinasi dengan praperlakuan *neuraminidase* pada temperatur inkubasi 25°C selama 60 menit (a) HA virus SARS-CoV-2 praperlakuan *neuraminidase* 5 U/mL terhadap sel darah merah mencit (BALB/c) 1% dengan nilai titer 0 HAU; (b) HA virus SARS-CoV-2 praperlakuan *neuraminidase* 10 U/mL terhadap sel darah merah mencit (BALB/c) 1% dengan nilai titer 0 HAU



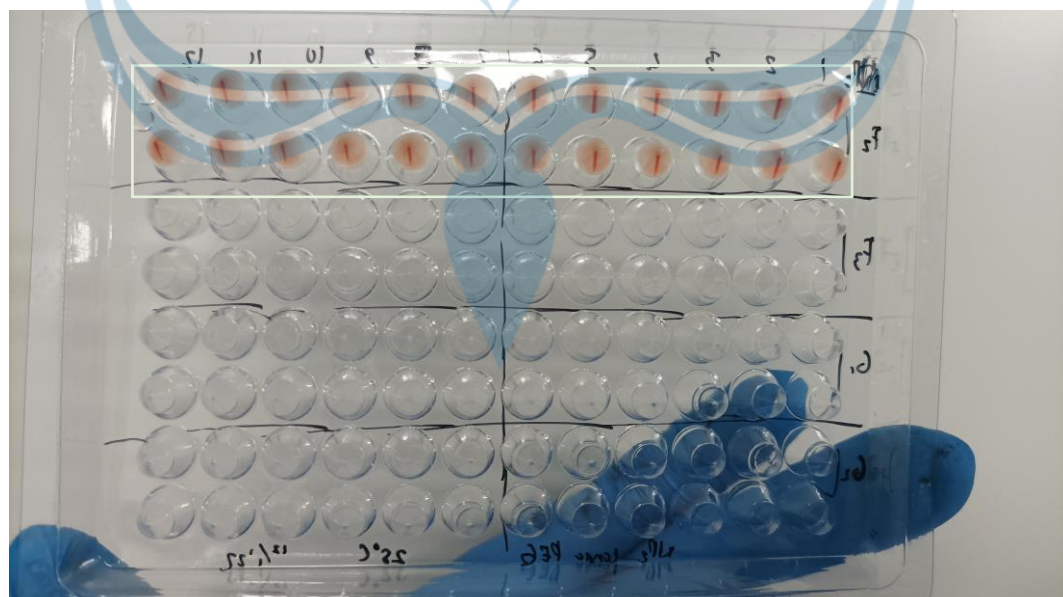
Gambar 25. Hasil uji hemagglutinasi dengan praperlakuan *neuraminidase* pada temperatur inkubasi 37°C selama 60 menit (a) HA virus SARS-CoV-2 praperlakuan *neuraminidase* 5 U/mL terhadap sel darah merah mencit (BALB/c)1% dengan nilai titer 0 HAU; (b) HA virus SARS-CoV-2 praperlakuan *neuraminidase* 10 U/mL terhadap sel darah merah mencit (BALB/c) 1% dengan nilai titer 0 HAU



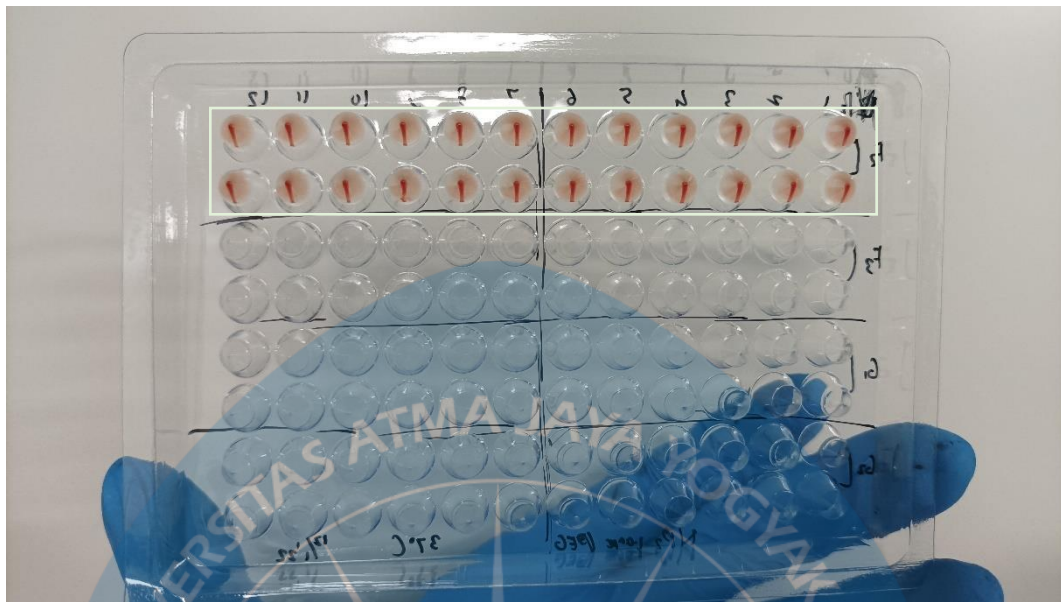
Gambar 26. Hasil uji hemagglutinasi dengan praperlakuan *neuraminidase* dan penambahan PEG 33,33% pada temperatur inkubasi 25°C selama 60 menit (a) HA virus SARS-CoV-2 praperlakuan *neuraminidase* 10 U/mL terhadap sel darah merah mencit (BALB/c) 1% dengan nilai titer 0 HAU; (b) HA virus SARS-CoV-2 praperlakuan *neuraminidase* 5 U/mL terhadap sel darah merah mencit (BALB/c) 1% dengan nilai titer 0 HAU



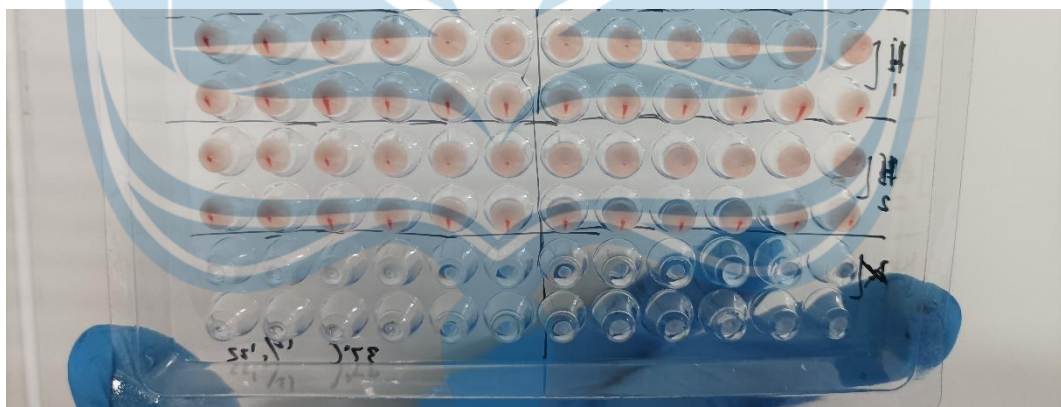
Gambar 27. Hasil uji hemagglutinasi dengan praperlakuan *neuraminidase* dan penambahan PEG 33,33% pada temperatur inkubasi 37°C selama 60 menit (a) HA virus SARS-CoV-2 praperlakuan *neuraminidase* 10 U/mL terhadap sel darah merah mencit (BALB/c) 1% dengan nilai titer 0 HAU; (b) HA virus SARS-CoV-2 praperlakuan *neuraminidase* 5 U/mL terhadap sel darah merah mencit (BALB/c) 1% dengan nilai titer 0 HAU



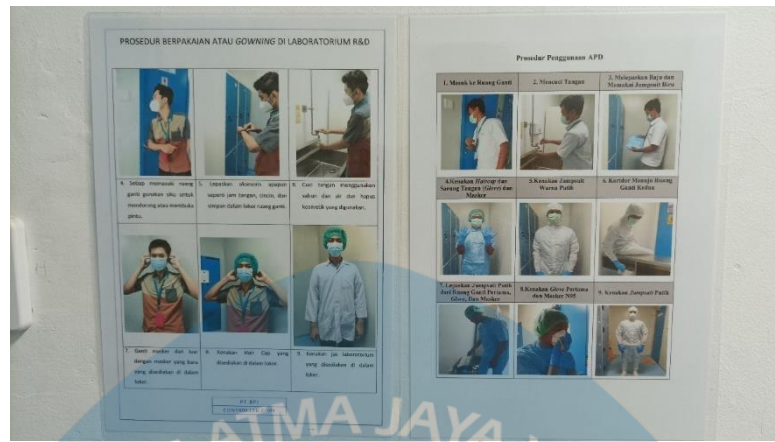
Gambar 28. Hasil uji hemagglutinasi virus SARS-CoV-2 dengan praperlakuan *neuraminidase* 41 U/mL terhadap sel darah merah mencit (BALB/c) 1% pada temperatur inkubasi 25°C selama 60 menit dengan nilai titer 0 HAU



Gambar 29. Hasil uji hemagglutinasi virus SARS-CoV-2 dengan praperlakuan neuraminidase 41 U/mL terhadap sel darah merah mencit (BALB/c) 1% pada temperatur inkubasi 37°C selama 60 menit dengan nilai titer 0 HAU



Gambar 30. Hasil uji hemagglutinasi virus SARS-CoV-2 dengan praperlakuan neuraminidase 41 U/mL dan penambahan PEG 33,33% terhadap sel darah merah mencit (BALB/c) 1% pada temperatur inkubasi 37°C selama 60 menit



Gambar 31. Prosedur Berpakaian dan Penggunaan Alat Pelindung Diri (APD)



Gambar 32. Autoklaf 2017L330 (Shinva)



Gambar 33. Alat Sterilisasi Panas Kering (Shinva)



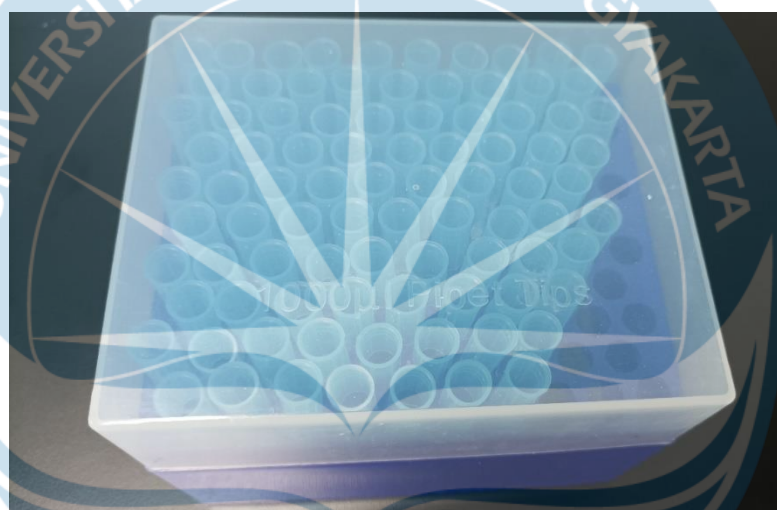
Gambar 34. Deep Freezer -23°C (Haier Biomedical 92/262 Series)



Gambar 35. Lemari Es -8°C (Haier HYC-310S)



Gambar 36. Biosafety Cabinet II/A2/JT18030725 (Airtech)



Gambar 37. Mikrotips 1000  $\mu\text{L}$



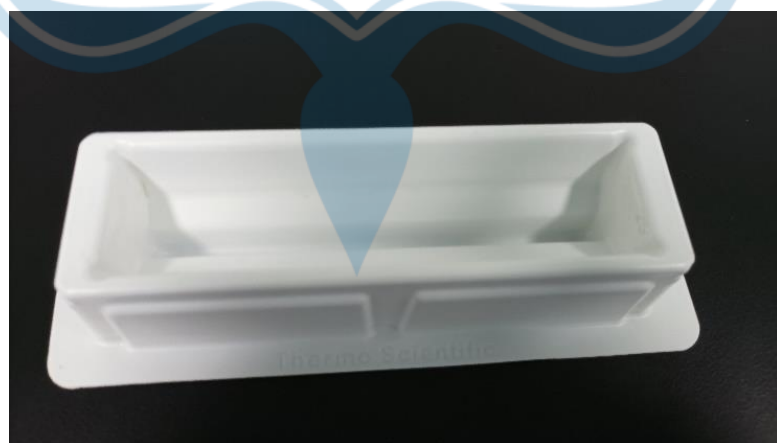
Gambar 38. Mikropipet 100, 200 dan 1000  $\mu\text{L}$



Gambar 39. Tabung konikal (Falcon) steril



Gambar 40. Flexible PVC 96 well plates U bottom



Gambar 41. Reservoir



Gambar 42. Timer



Gambar 43. Spidol Marker



Gambar 44. Antigen H5N1 dan H9N2



Gambar 45. Phosphate Buffered Saline



Gambar 46. Gelas ukur (Bomex) 1 L



Gambar 47. Gelas beker (Iwaki) 1 L

## B. Lampiran Data

### Lampiran 1. Uji Normalitas

	Tests of Normality			Shapiro-Wilk		
	Statistic	df	Sig.	Statistic	df	Sig.
HAU (25'C)	.510	16	.000	.405	16	.000
HAU (37'C)	.518	16	.000	.398	16	.000

Hasil analisis statistika dengan *software* SPSS versi 21 menunjukkan data pada kelompok inkubasi 25°C dan kelompok 37 °C terdistribusi tidak normal, sehingga dilanjutkan dengan uji non-parametrik yakni Uji *Friedman* dan Uji *post-hoc Kruskal-Wallis*

### Lampiran 2. Hasil analisis uji *Friedman* terhadap kelompok perlakuan temperatur inkubasi 25°C dan 37°C

Test Statistics <sup>a</sup>	Ranks
N	16
Chi-Square	1.000
df	1
Asymp. Sig.	.317
	Mean Rank
	HAU (27'C) 1.47
	HAU (35'C) 1.53

Perlakuan temperatur inkubasi 25°C dan 37°C terhadap hasil uji hemagglutinasi tidak menunjukkan perbedaan yang signifikan berdasarkan hasil analisis statistik uji *Friedman* dengan nilai *asymp. sig.* >0,05 pada tingkat kepercayaan 95%

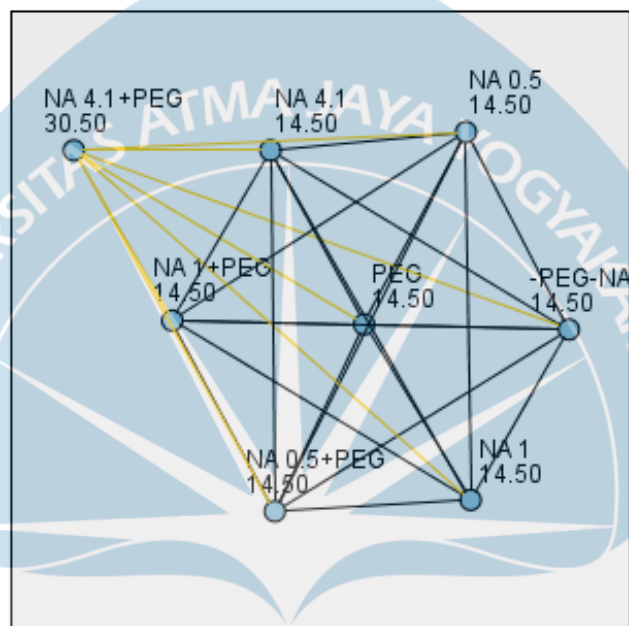
### Lampiran 3. Uji *post-hoc Kruskal-Wallis*

Hypothesis Test Summary				
	Null Hypothesis	Test	Sig.	Decision
1	The distribution of HAU is the same across categories of Perlakuan.	Independent-Samples Kruskal-Wallis Test	.000	Reject the null hypothesis.
Asymptotic significances are displayed. The significance level is .05.				

Hasil uji *post-hoc Kruskal-Wallis* menunjukkan ada kombinasi perlakuan yang memiliki perbedaan yang signifikan dengan kombinasi perlakuan lainnya dengan nilai *asymp. sig.* <0,05 pada tingkat kepercayaan 95%.

Lampiran 4. Visualisasi data *Pairwise Comparisons* dalam Uji *post-hoc Kruskal-Wallis*

#### Pairwise Comparisons of Perlakuan



Kombinasi perlakuan *neuraminidase pretreatment* 41U/mL dan penambahan PEG adalah kombinasi perlakuan yang memiliki perbedaan pengaruh yang signifikan terhadap semua kombinasi perlakuan lainnya (ditunjukkan dengan visualisasi garis hubung berwarna kuning) dalam hasil desain uji hemagglutinasi sel darah merah oleh SARS-CoV-2. Relasi perbedaan pengaruh antar kombinasi perlakuan dapat dilihat pada tabel lanjutan berikut.

Each node shows the sample average rank of Perlakuan.

Sample1-Sample2	Test Statistic	Std. Error	Std. Test Statistic	Sig.	Adj.Sig.
-PEG-NA-PEG	.000	3.808	.000	1.000	1.000
-PEG-NA-NA 0.5	.000	3.808	.000	1.000	1.000
-PEG-NA-NA 1	.000	3.808	.000	1.000	1.000
-PEG-NA-NA 4.1	.000	3.808	.000	1.000	1.000
-PEG-NA-NA 0.5+PEG	.000	3.808	.000	1.000	1.000
-PEG-NA-NA 1+PEG	.000	3.808	.000	1.000	1.000
-PEG-NA-NA 4.1+PEG	-16.000	3.808	-4.202	.000	.001
PEG-NA 0.5	.000	3.808	.000	1.000	1.000
PEG-NA 1	.000	3.808	.000	1.000	1.000
PEG-NA 4.1	.000	3.808	.000	1.000	1.000
PEG-NA 0.5+PEG	.000	3.808	.000	1.000	1.000
PEG-NA 1+PEG	.000	3.808	.000	1.000	1.000
PEG-NA 4.1+PEG	-16.000	3.808	-4.202	.000	.001
NA 0.5-NA 1	.000	3.808	.000	1.000	1.000
NA 0.5-NA 4.1	.000	3.808	.000	1.000	1.000
NA 0.5-NA 0.5+PEG	.000	3.808	.000	1.000	1.000
NA 0.5-NA 1+PEG	.000	3.808	.000	1.000	1.000
NA 0.5-NA 4.1+PEG	-16.000	3.808	-4.202	.000	.001
NA 1-NA 4.1	.000	3.808	.000	1.000	1.000
NA 1-NA 0.5+PEG	.000	3.808	.000	1.000	1.000
NA 1-NA 1+PEG	.000	3.808	.000	1.000	1.000
NA 1-NA 4.1+PEG	-16.000	3.808	-4.202	.000	.001
NA 4.1-NA 0.5+PEG	.000	3.808	.000	1.000	1.000
NA 4.1-NA 1+PEG	.000	3.808	.000	1.000	1.000
NA 4.1-NA 4.1+PEG	-16.000	3.808	-4.202	.000	.001
NA 0.5+PEG-NA 1+PEG	.000	3.808	.000	1.000	1.000
NA 0.5+PEG-NA 4.1+PEG	-16.000	3.808	-4.202	.000	.001
NA 1+PEG-NA 4.1+PEG	-16.000	3.808	-4.202	.000	.001

Each row tests the null hypothesis that the Sample 1 and Sample 2 distributions are the same.  
Asymptotic significances (2-sided tests) are displayed. The significance level is .05.

### Lampiran 5. Perhitungan Konsentrasi *Neuraminidase*

*Neuraminidase* (41 units/mg) 1,45 mg dalam kemasan ditambahkan 0,145 mL PBS  
 $= (41 \text{ U/mg} \times 1,45 \text{ mg}) / 0,145 \text{ mL}$   
 $= 5,945 \text{ U}/0,145 \text{ mL}$   
 $= 41 \text{ U/mL}$

<i>Neuraminidase</i> (NA)	<i>Phosphate Buffered Saline</i> (PBS)		<i>Neuraminidase Working Solution</i>		
Konsentrasi awal (Unit)	Volume NA (mL)	Volume PBS (mL)	Volume Akhir (mL)	Konsentrasi Akhir (U/mL)	Konsentrasi Akhir (U/0,1 mL)
41	0,1	0	0,1	41	4,1
41	0,0243902	0,07561	0,1	10	1
41	0,0121951	0,087805	0,1	5	0,5

Konsentrasi Awal x Volume Awal = Konsentrasi Akhir x Volume Akhir

### Lampiran 6. Perhitungan Konsentrasi PEG

Larutan stok PEG 15% (*w/v*) dibuat dengan melarutkan 2,1 g serbuk PEG (4000) dengan 14 mL PBS  
 $= 15\% \times 14 \text{ mL} = 2,1 \text{ g}$

PEG Stok		PEG Stok Pengenceran (% <i>w/v</i> )	
Konsentrasi awal %	Volume awal PEG (μL)	Volume Akhir (μL)	Konsentrasi Akhir %
15	66,67	1000	1
15	133,33	1000	2
15	200	1000	3
15	266,66	1000	4
15	333,33	1000	5
15	400	1000	6
15	326,66	700	7
15	373,33	700	8
15	420	700	9
15	466,66	700	10
15	513,33	700	11
15	560	700	12
15	606,66	700	13
15	653,33	700	14

Konsentrasi Awal x Volume Awal = Konsentrasi Akhir x Volume Akhir